

## 8. Relativelektronensysteme

### 8.1. Pauli-prinzip und Quantenstatistik

Elementarteilchen werden nach ihrem Spin gruppiert:

ganzfahiger Spin: Bosonen

Photon, Gluon, Alphateilchen

halbzahliger Spin: Fermionen

Elektron, Proton, Neutron, Quarks

Systeme identischer Teilchen: Teilchen sind C.A. unterscheidbar auch das hat Konsequenzen für die Symmetrie von Vierteilchensystemen (z.B. Relativelektronensystemen)

Einteilchenwellenfunktion  $\psi(1)$

Zweiteilchenwellenfunktion  $\psi(1,2)$

und Wahrscheinlichkeitsdichte  $|\psi(1,2)|^2$

wenn Teilchen identisch (d.h. unterscheidbar) auf Wahrscheinlichkeitsdichte einwirkt &

zufällig Vertauschung der beiden Teilchen sein

$$|\psi(1,2)|^2 = |\psi(2,1)|^2$$

die Wellenfunktion hat sowohl die Vertauschung 2 Möglichkeiten

$$1. \psi(1,2) = +\psi(2,1) \text{ gilt für } \underline{\text{Bosonen}}$$

Symmetrisch bz. Vert.

$$2. \psi(1,2) = -\psi(2,1) \text{ gilt für } \underline{\text{Fermionen}}$$

antisymmetrisch bz. Vert.

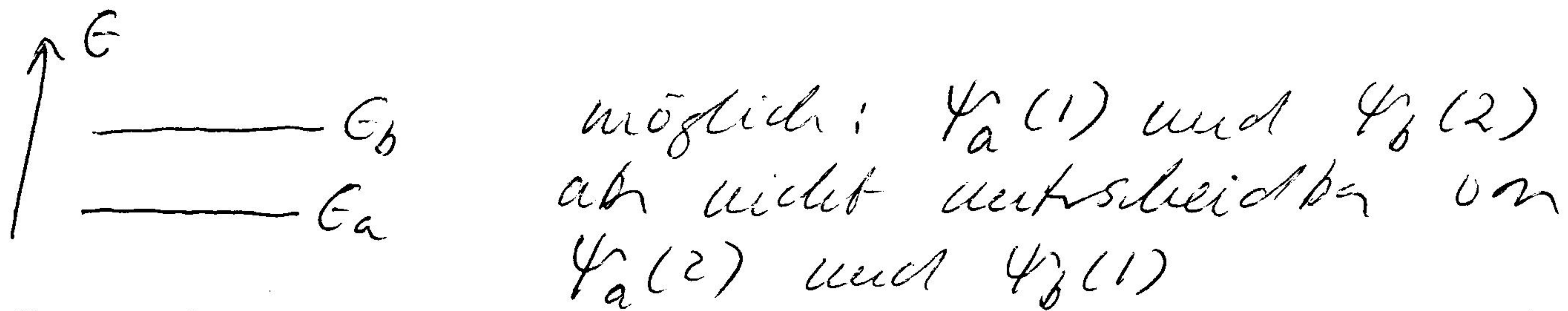
für  $n$ -Teilchen wellenfunktion gilt das Ent-

sprechende für Vertauschung von je 2 Teilchen.

Wellenfunktion ist typischerweise Produkt aus räumlicher Funktion, Spinfunktion + u.U. weiteren Teilen (Farbfunktion für Elektron und Antikl.) Total Wellenfunktion nur dann symmetrische bzw. antisymmetrische Vertauschung haben.

Kein einfacher (plausibler) Grund für Existenz der beiden Teilchenklassen und Symmetrien von Wellenfunktionen. U.U. gibt es SUSY (köönkt am LHC gefunden werden). Zu jedem Boson gibt es eine Partnerfermion.

Pauli-Prinzip: Schreibt man 2 identische Teilchen 1,2 in zwei Zuständen a,b



2T-Wellenfunktion außer definierte Symmetrie-  
prinzip, Vertauschung haben, nicht einfach

$$\Psi = \Psi_a(1) \cdot \Psi_b(2)$$

symmetrisch:  $\Psi_S(1,2) = \frac{1}{\sqrt{2}} (\Psi_a(1)\Psi_b(2) + \Psi_a(2)\Psi_b(1))$   
oder

antisymmetrisch:  $\Psi_{as}(1,2) = \frac{1}{\sqrt{2}} ( " - " )$

Fakt  $\frac{1}{\sqrt{2}}$  wegen Normierung der Wahrscheinlichkeit.  
für 2 Fermionen (z.B. Elektronen) außer  
 $\Psi_{as}$  gewählt werden. Wichtige Konsequenz:

wenn wir Zustände  $a, b$  identisch wählen verschwindet  $\Psi_{ab}$ :

$$\Psi_{ab}(1,2) = \frac{1}{\sqrt{2}} (\Psi_a(1)\Psi_a(2) - \Psi_a(2)\Psi_a(1)) = 0$$

2 Fermionen können nicht gleichzeitig einen Zustand besitzen, der in allen Quantenzahlen identisch ist = "Pauli Prinzip"

"Pauli exclusion principle"

(Vorschlag W. Pauli 1925, Nobelpreis 1945)

$\Rightarrow [F_8 8-1]$

essentielle Komponente um Aufbau der Atome zu verstehen; jeder durch einen eindeutigen Satz von Quantenzahlen definierte Zustand kann nur von einem einzigen Elektron besetzt werden

z.B. 1s-Zustand

$$\begin{array}{llllll} n=1 & l=0 & m_l=0 & s=\frac{1}{2} & m_s=+\frac{1}{2} & 1 \text{ Elektron} \\ " & " & " & " & m_s=-\frac{1}{2} & " \end{array}$$

in 1s-Zustand können sich 2 Elektronen befinden, analog 6 in 2p

$$\begin{array}{ll} m_l=1 & m_s=\pm\frac{1}{2} \\ 0 & " \\ -1 & " \end{array}$$

für 2 Bosonen: wähle  $\Psi_s(1,2) = \frac{1}{\sqrt{2}} (\Psi_a(1)\Psi_a(2) + \Psi_a(2)\Psi_a(1))$

$|\Psi_s(1,2)|^2 = 2 \Psi_a(1)\Psi_a(2)$  Wahrscheinlichkeit 2 Bosonen bei gleichen Quantenzustand vorfinden doppelt so groß wie ohne Symmetrisierung der Wellenfunktion, spricht kläss. Teilchen

generell für n Bosonen gilt

$$\text{Wahrscheinlichkeit } P_n = n! P_1^n$$

wobei  $P_1$  Wahrscheinlichkeit ist, daß Zustand mit 1 Boson besetzt ist.

für jedes weiße Boson wieder Wahrscheinlichkeit um Faktor  $n+1$  im Vergleich zu Zustand n Bosonen zu finden (wichtig für Photonen wie Laser)

Statistische Physik: Analogie wie sich in einem System mit vielen Teilchen die Energie auf einzelne verteilt - statistische Verteilung der möglichen Ergebnisse z.B. für Messung der Geschwindigkeit (der Energie) eines einzigen Gasatoms in einem Ensemble von vielen.

Kinetische Gastheorie: sagt wie totale kinetische Energie von N Molekülen verteilt.

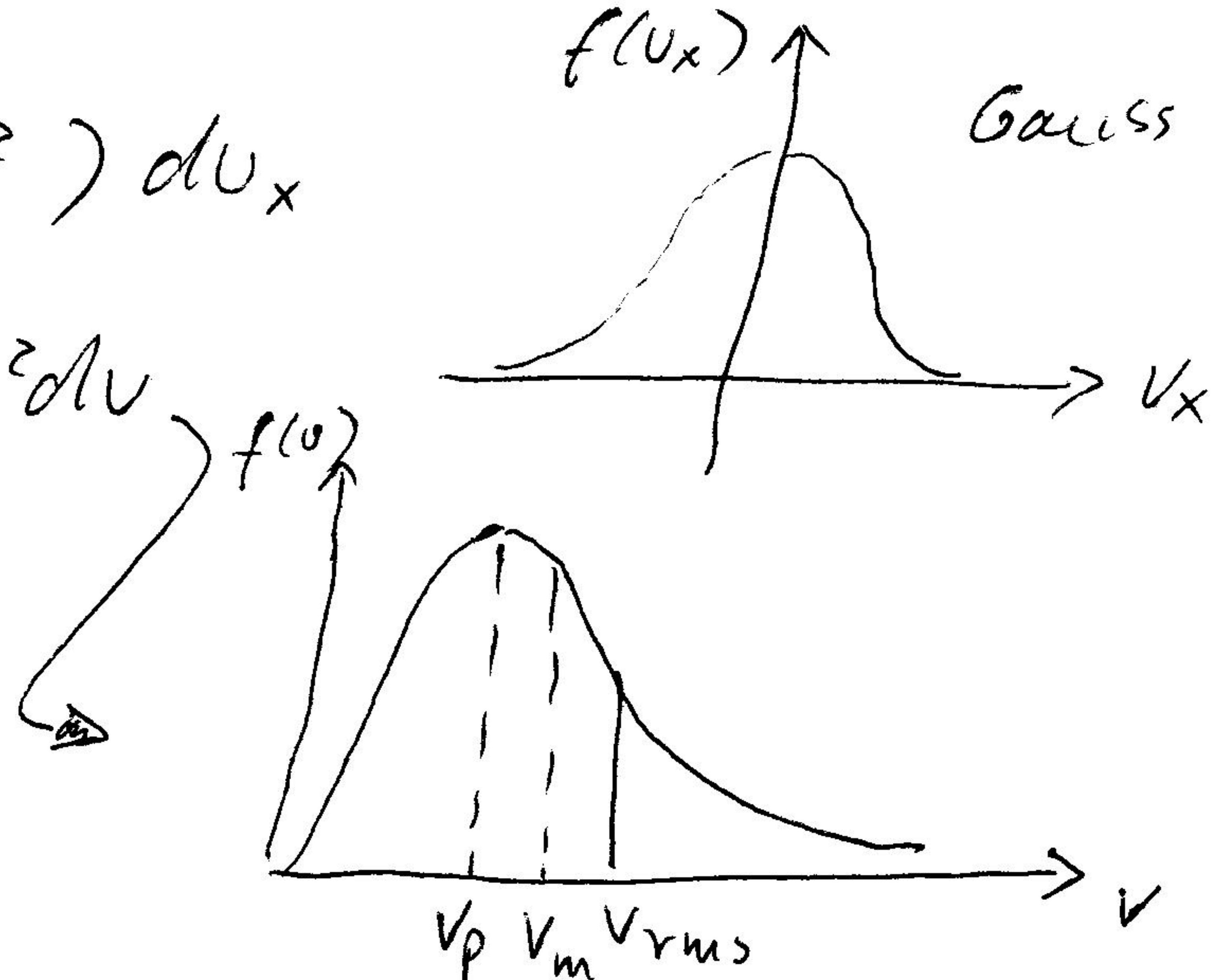
Können wir z.B. durch Messung der Geschwindigkeitsverteilung der Moleküle messen

$$f(v_x) dx = \frac{1}{A_x} \exp(-bv_x^2) dv_x$$

$$f(v) dv = \frac{4\pi}{A} \exp(-bv^2) v^2 dv$$

$$v^2 = v_x^2 + v_y^2 + v_z^2$$

Maxwellverteilung



Namensregel  $\int f(v) dv = n$  Anzahl der Teilchen pro Volumen

Mittlere kinetische Energie pro Teilchen bei Temperatur  $T$

$$\bar{E}_{av} = \int \frac{1}{2} mv^2 f(v) dv = \frac{3}{2} kT$$

$$\sim b = \frac{m}{2kT} \quad \text{und} \quad \frac{1}{A} = n \left( \frac{m}{2\pi kT} \right)^{3/2}$$

$$f(v) = 4\pi n \left( \frac{m}{2\pi kT} \right)^{3/2} v^2 \exp(-mv^2/2kT)$$

$$v_p = \left( \frac{2kT}{m} \right)^{1/2} \quad v_m = \left( \frac{8kT}{\pi m} \right)^{1/2} \quad v_{rms} = \left( \frac{3kT}{m} \right)^{1/2}$$

die zugehörige Verteilung in der kinetischen Energie:

$$E = \frac{1}{2} mv^2 \quad dE = mvdv \quad dv = \frac{dE}{mv} = \frac{dE}{\sqrt{2mE}}$$

$$\sim f(E)dE = 2\pi n \left( \frac{1}{\pi kT} \right)^{3/2} E^{1/2} \exp(-E/kT) dE$$

das ist Energieverteilung, wenn es nur kinetische Energie der Translation gibt.

Wie sieht es aus, wenn verschiedene Formen von Energie im System vorhanden sind?

Namensregel kann aus Zus. Energie  $\langle E \rangle$  und  $T = \langle E \rangle / \langle E \rangle$  aus  $dE$  und Vol. Element  $v^2 dv$

ab: die exponentielle Faktur  $\exp(-E/kT)$  ist für alle Formen von Energie korrekt

Z.B. Rotationsenergie, Vibrationsenergie, Aus-angusenergie elektronischer Zustände

# Maxwell-Boltzmann Verteilung

$$f_{MB}(E) = A' \exp(-E/kT)$$

$$\rho(E) = \underbrace{g(E)} f_{MB}(E)$$

Rustaudsdichte: Anzahl von Möglichkeiten wie System eine gegebene Energie  $E$  haben kann

$g(E) dE$  Zahl der Zustände im Energieintervall  $dE$  bei Energie  $E$

- im Fall der Geschwindigkeitsverteilung für Gasmoleküle ist Rustaudsdichte durch Volumenelement  $4\pi v^2 dv$  bzw  $V E^2 dE$  gegeben  
d.h.  $g(E) = VE^2$
- wenn wir angenehme Zustände in atomaren Systemen betrachten ist  $g(E)$  der Entartungsgrad eines gegebenen Zustands

Beispiele: atomares Wasserstoffgas bei Raumtemperatur. Relative Bevölkerung von 1. elektronisch aufgezogenem Zustand relativ zum Grundzustand

$$E_n = -13.6 \text{ eV}/n^2 \quad \text{Entartungsgrad } 2n^2$$

$$kT = 0.0252 \text{ eV}$$

$$\frac{\rho(E_2)}{\rho(E_1)} = \frac{8}{2} \exp(10.2 \text{ eV}/0.0255 \text{ eV}) = 4 \exp(405) = 0.6 \cdot 10^{-175} \text{ ! verschwindend}$$

bei welcher Temperatur wird

$$\frac{\rho(E_2)}{\rho(E_1)} = \frac{0.1}{0.9} \quad kT = 2.85 \text{ eV} \quad \approx T = 3.3 \cdot 10^4 \text{ K}$$

bei einigen 10 000 K elektronische Ausregung relevant.

für ununterscheidbare Quantenteilchen  
ist die Maxwell-Boltzmann Verteilung nicht  
mehr korrekt.

Spur - Statistik Theorem: alle Elementar-  
teilchen mit halbzahligem Spur (Fermionen)  
folgen der Fermi - Dirac Statistik.  
alle mit ganzzahligen Spur (Bosonen)  
der Bose - Einstein Statistik.  
(W. Pauli konnte dieses Theorem in der  
relativistischen Quantenfeldtheorie - Quanten-  
mechanik nach. mit spezieller Relativitätstheorie-  
beweisen)

Zusammenhang zwischen Spur einer Teilchen  
und seinem Kollektiven Verhalten in einer  
Gruppe ununterscheidbarer Teilchen nicht  
trivial.

$$\text{Fermi - Dirac Verteilung: } f_{FD}(E) = \frac{1}{A \exp(E/kT) + 1}$$

$$\text{Bose - Einstein Verteilung: } f_{BE}(E) = \frac{1}{A \exp(E/kT) - 1}$$

$A = \exp \alpha$  Parameter die am System abhängen,  
an der Teilchenzahl\* (siehe oben  $\frac{1}{A} \propto n$ )  
u.U. der Temperatur, Festlegung je nach Beispiel

\* wegen  $A \propto \frac{1}{n}$  ist bei kleinen Dichten die  
Maxwell - Boltzmann Verteilung eine gute  
Approximation, bei höheren Dichten ist die  
quantenstatistische Verteilung wichtig.

für Bosonen: in meisten Fällen von prakt. Interesse ist  $A$  unabhängig von  $T$ , oft  $\alpha=0$   
 $A=1$

für Fermionen:  $A$  ist stark temperaturabhängig  $A = \exp(-E_F/kT)$  mit der Fermienergie  $E_F$  (siehe unten)

Bosonen (beachte  $A=1$ ): für kleine  $T$  wird exp.-Faktor groß für  $E$  groß  $f_{BE} \rightarrow 0$   
für  $E=0$   $\exp 0=1 \sim f_{BE}$  divergiert  $\rightarrow \infty$   
konsequent: wenn  $T$  klein, werden alle Teilchen des Systems den niedrigsten Energiezustand besetzen (Bose-Kondensation)

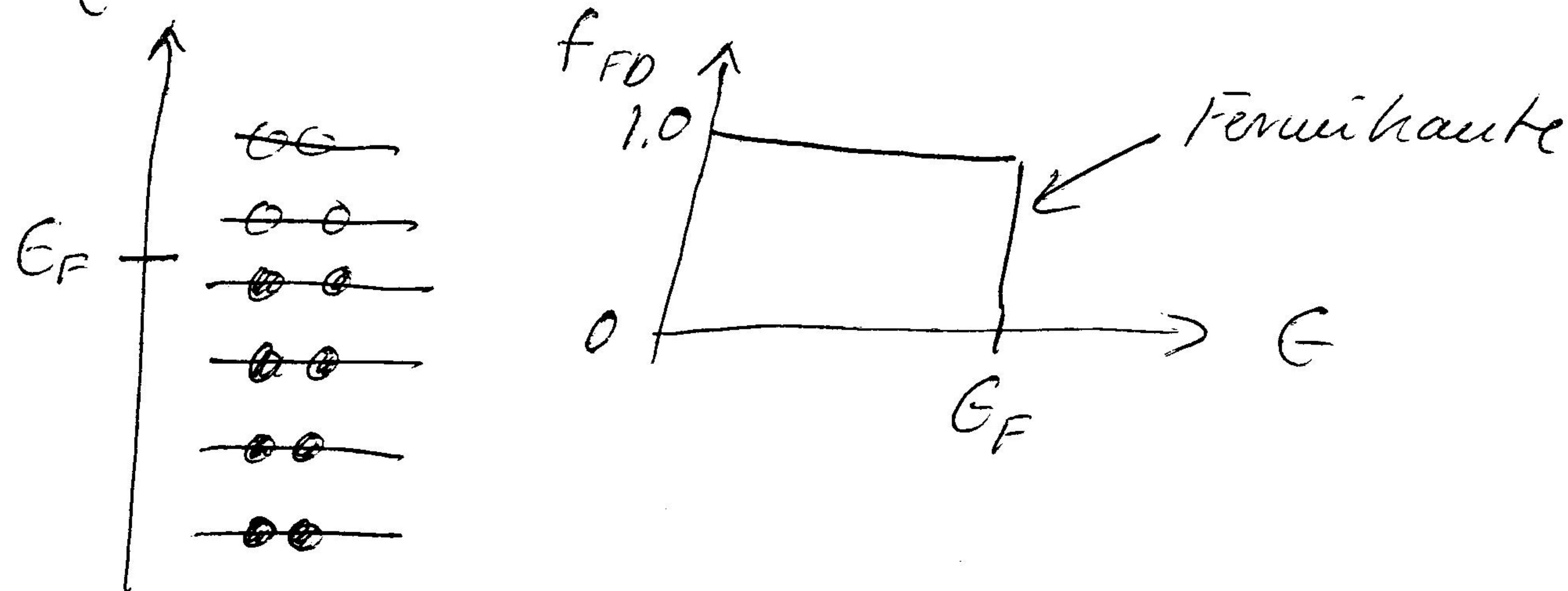
$\Rightarrow$  Fig 8-2

Fermionen: für  $E > E_F$  und  $T$  klein wird exp.-Faktor groß  $f_{FD} \rightarrow 0$  ähnlich wie  $f_{BE}$  und  $f_{FB}$   
für  $E < E_F$  wird  $E - E_F$  negativ und  $\exp(E - E_F/kT) \rightarrow 0$  für kleine  $T$ ; d.h.  
 $f_{FD} \rightarrow 1$ , also Blockierungswahrscheinlichkeit pro Quantenzustand gleich eins, viel größer! Pauli-Prinzip

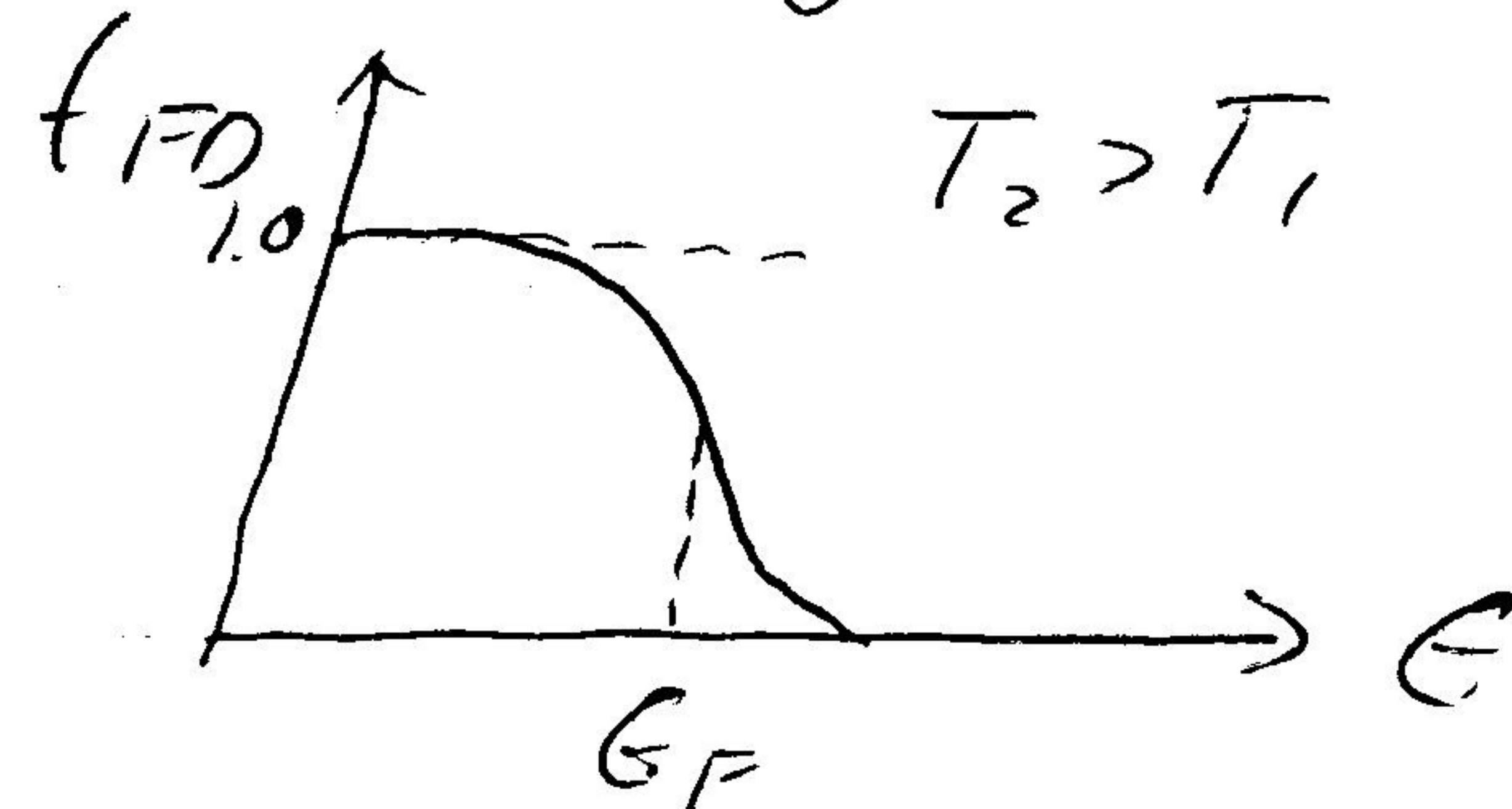
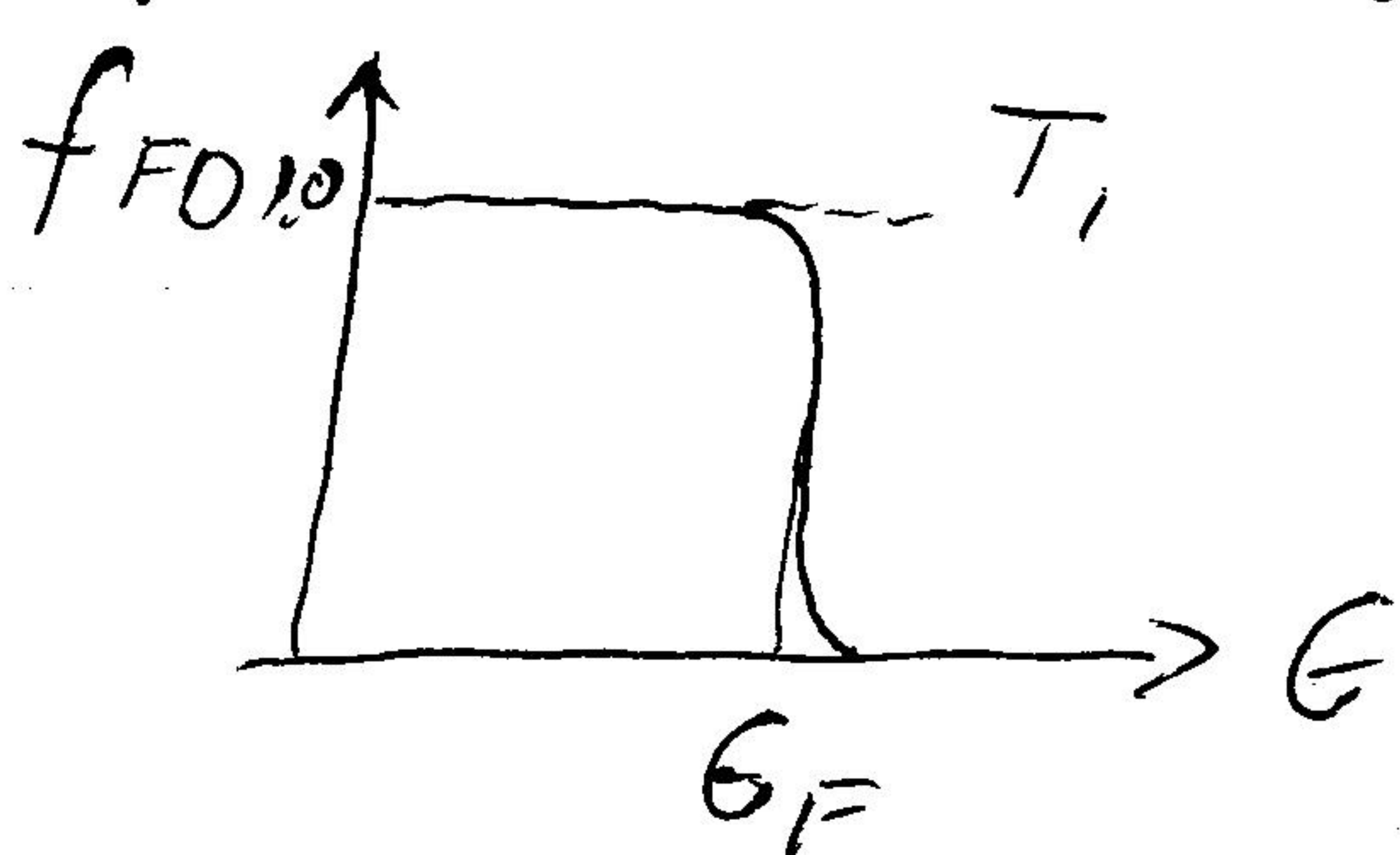
$\Rightarrow$  Fig 8-2

wenn  $E \gg kT$  immer exponentieller Abfall, die Unterschiede sind bei kleineren Energien

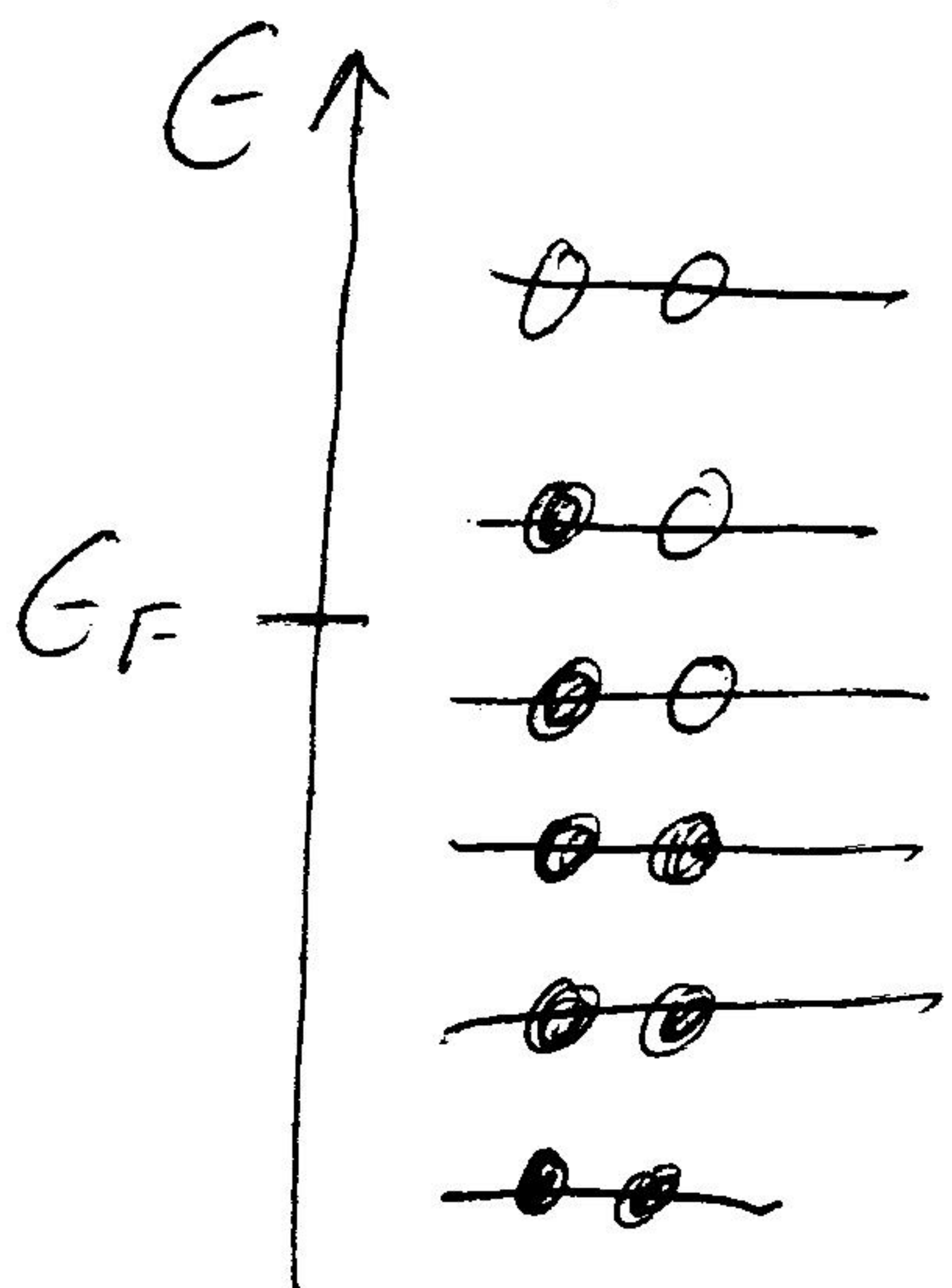
bei  $T=0$  sind alle Energieniveaus bis zu  $E_F$  besetzt  $\rightarrow f_{FD}=1.0$ , und alle Niveaus darüber nicht besetzt  $\rightarrow f_{FD}=0$ . z.B. für 2-fach entartete Niveaus



für  $T > 0$  erfolgt Aufweichung der Fermihaute:



es gibt eine gewisse Wahrscheinlichkeit  
eine Elektron in einem Zustand oberhalb  
von  $E_F$  zu finden

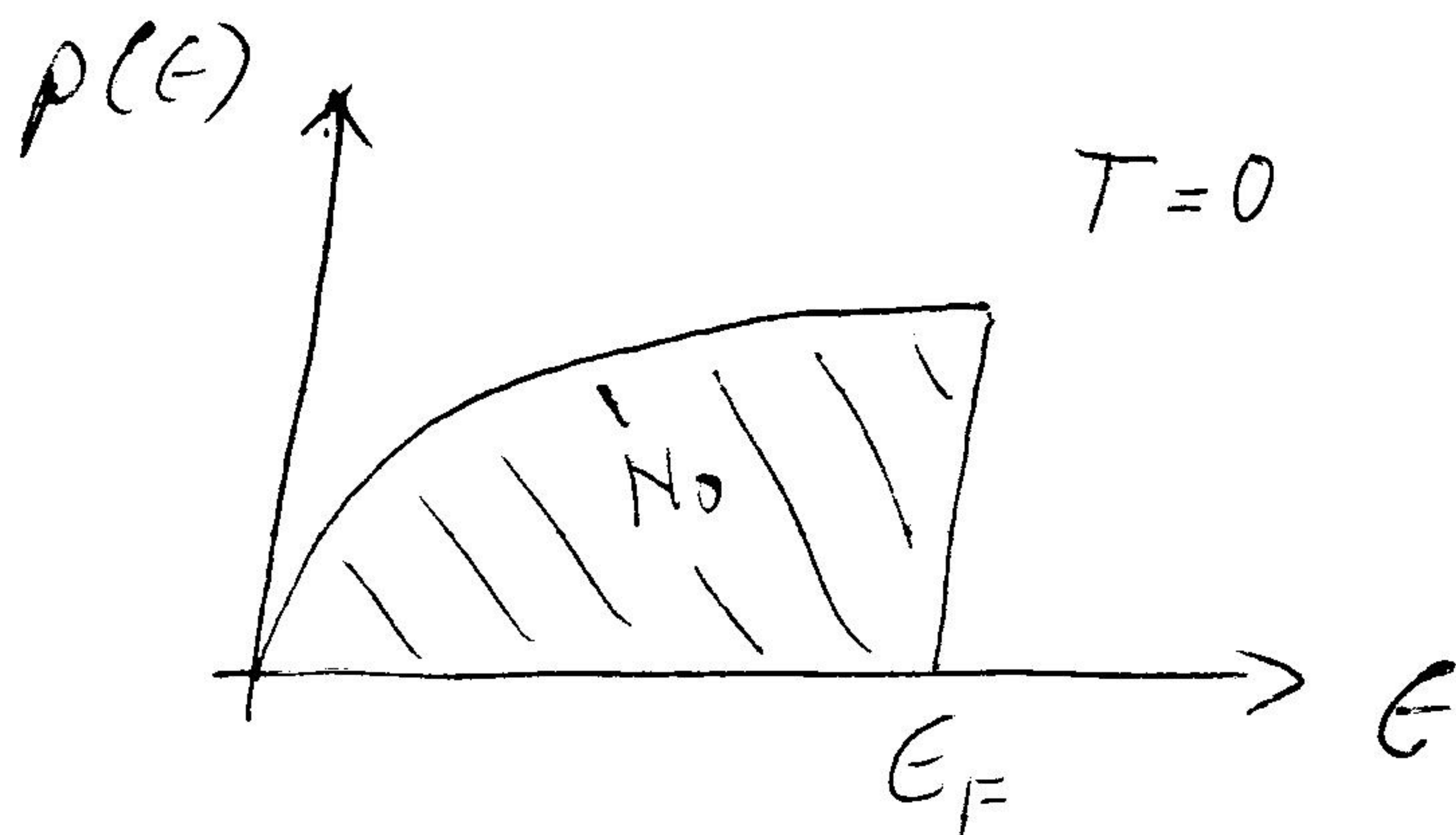


Beispiel Leitungselektronen am Metall: nicht stark gebunden, können sich relativ frei im Metall bewegen. Behandlung als Gas, ab der Fermi-Dirac Statistik gehorcht  
etwa 1-2 Leitungselektronen/Atom  $n = 2.5 \cdot 10^{22} e^-/\text{cm}^3$

$$g(E) dE = \frac{8\sqrt{2}\pi V m^{3/2}}{h^3} E^{1/2} dE$$

(siehe Schawardzko'sche Formel)

$$\rho(E) dE = \frac{8\sqrt{2}\pi V m^{3/2}}{h^3} \frac{E^{1/2} dE}{\exp(E-E_F/kT) + 1}$$



totale Anzahl von Teilchen :  $N$

$N = \int_0^\infty \rho(E) dE$  und das Eskiment  $E_F$  bei  $T=0$

$$N_0 = \frac{8\sqrt{2}\pi V m^{3/2}}{h^3} \int_0^{E_F} E^{1/2} dE$$

$$\rightarrow E_F = \frac{\hbar^2}{8m} \left( \frac{3N_0}{\pi V} \right)^{2/3} \quad \frac{N_0}{V} = n$$

$$E_F \propto n^{2/3}$$

mittlere Energie der Elektronen

$$\langle E \rangle = \frac{1}{N_0} \int_0^\infty E \rho(E) dE = \frac{2}{3} E_F$$

typische Werte  $E_F = 2 - 7 \text{ eV} \gg kT$

Fermidichte bei Raumtemp. sehr scharf

## 8.2. Das Periodensystem der Elemente

Atome nehmen - wie andre Systeme - den Zustand minimaler Energie ein. D.h. Schalen werden von innen aufgefüllt und jeweils mit der dem Pauli-Verbot entsprechenden Zahl von Elektronen besetzt.

$s = 2$  Elektronen

$p = 6$

$d = 10$

$f = 14$

jede Schale kann von  $2n^2$  Elektronen besetzt werden

$n=1 \quad (1s)^2 \leftarrow$  Notation besagt 2gl. in 1s

$n=2 \quad (2s)^2 (2p)^6 \rightarrow 8$

$n=3 \quad (3s)^2 (3p)^6 (3d)^10 \rightarrow 18$

$n=4 \quad (4s)^2 (4p)^6 (4d)^10 (4f)^14 \rightarrow 32$

$n=5 \quad (5s)^2 (5p)^6 (5d)^10 (5f)^14$

He	$Z=2$	Elektronenkonfiguration	$1s^2$
Li	3		$1s^2 2s^1$
C	6		$1s^2 2s^2 2p^2$
Ne	10		$1s^2 2s^2 2p^6$

mit He ist Schale  $n=1$  abgeschlossen  
mit Ne " " 2 "

damit sind alle my Unterräume mit je einem  $m_s = +\frac{1}{2}$  und  $m_s = -\frac{1}{2}$  Elektron besetzt. Totaler Bahndrehimpuls

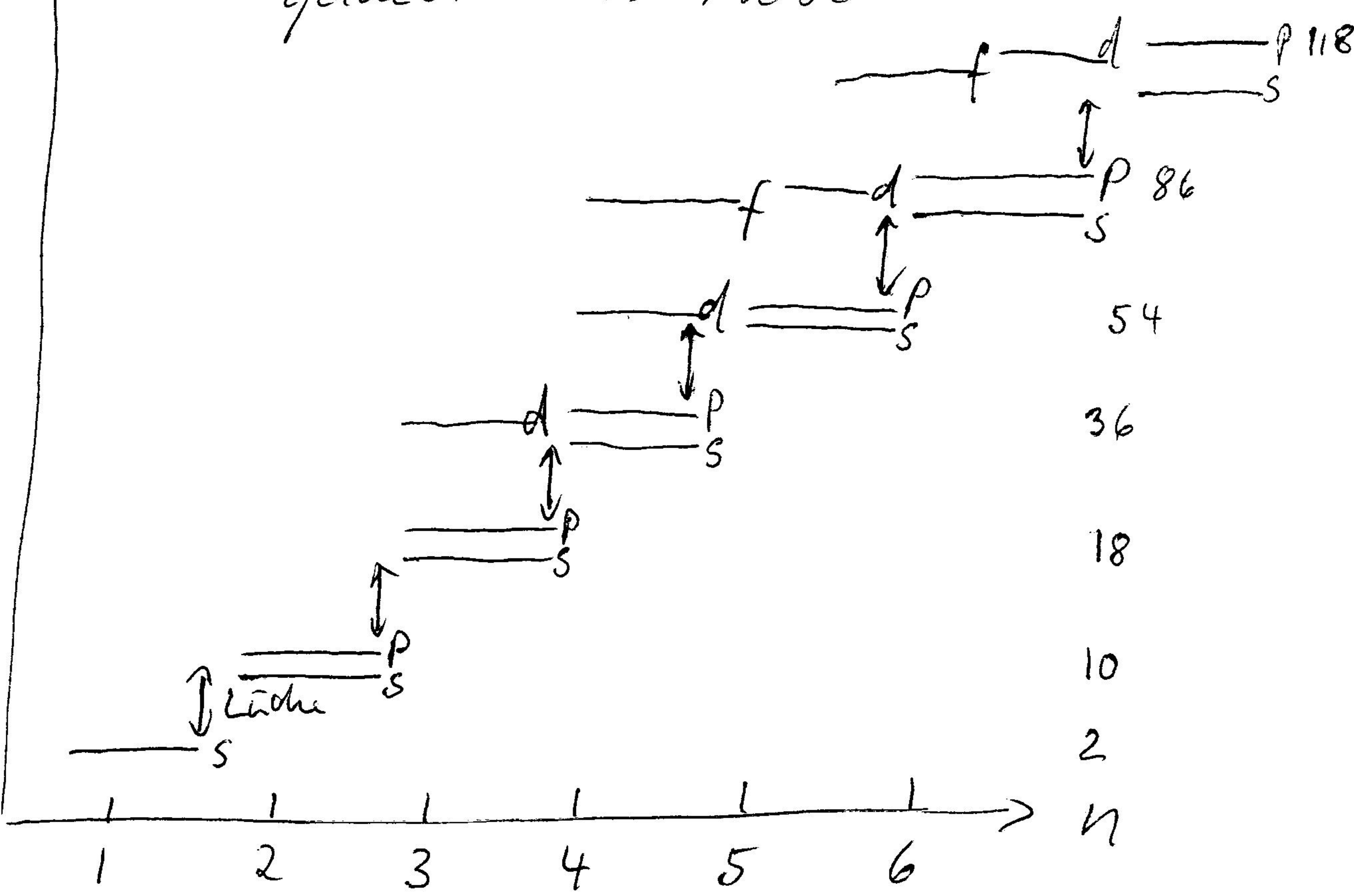
$$\vec{L} = \sum \vec{l}_i = 0 \quad \text{totaler Spin } \vec{S} = \sum \vec{s}_i = 0$$

für  $n \geq 3$  wird Schrein kompliziert.  
Zur Wasserstoff sind alle  $\ell$  Zustände entartet (haben gleiche Energie). In Mehr-Elektronensystemen ist das nicht mehr der Fall. Verschiedene Effekte

- Konkurrenz?  $\rightarrow$  Bindungsenergie  $\propto z^2$   
stark gebunden
- Coulombabstossung der Elektronen  
steigen  $r_{\text{eff}}$  ab; also  $r_{\text{eff}} < z$
- $r_{\text{eff}}$  abhängig von Abstand vom Kern  
innere Schalen schon wenige Abschirfung. s-Elektronen schon weniger als p
- Zustände u. versch.  $\ell$  haben verschiedene radiale Wellenfunktionen. Generell für größeres  $\ell$  größere Abstand  $\approx$  stärkere Abschirfung  $\approx$   $\ell$ -Entartung wird aufgehoben

Energie

qualitatives Niveauschema



durch Lücken gebaute Gruppen führen zu Schalenstruktur. Unterschalen mit verschiedenen Bohrungschwüpfen. Allerdings ist 3d möglich nach 4s und vor 4p etc.

Periodensystem der Elemente zuerst = 1870 von Mendeleev aufgestellt, Gruppierung nach chemischer Ähnlichkeit. Valenzelektronen, d.h. die Elektronen der äussersten, nicht abgeschlossenen Schale bestimmen die chemischen Eigenschaften.

Gruppe	Periode

8 Hauptgruppen (2s u 6p GL)  
7 Perioden  $\hat{=}$  Hauptgruppenzahl

Nebengruppen:

$\Rightarrow$  Fig 8-4)

Übergangsmetalle füllen die 3d- u. 4d-Schale  
(Lanthaniden)

Seltene Erden  
(Aktiniden)

Kurze Diskussion Alkalimetalle, Erdalkalimetalle, Halogene, Edelgase, Halbleit  $\leftrightarrow$  Isotopie  $\leftrightarrow$  Retalle

ab Z>92 Elemente generell nicht mehr in die Natur vorhanden, instabil, zu schwer kurzzeit lebensdauer. Bis her im Labo hergestellt und sündhaft teuer als Z=112

Festivalspotentiale besonders groß wenn alles bis zu einer Lücke aufgefüllt ist.  
Energiediagramm des Lettern gekreuzten  $\Rightarrow$  Fig 8-5

Elektronen zeigen Schalen und Unterschalenstrukturen.

Übersicht Atomradien

### 8.3. Drehimpulskopplung

Spins und Bahndrehimpulse der einzelnen Elektronen koppeln zu einem totalen Drehimpuls  $\vec{J}$ .

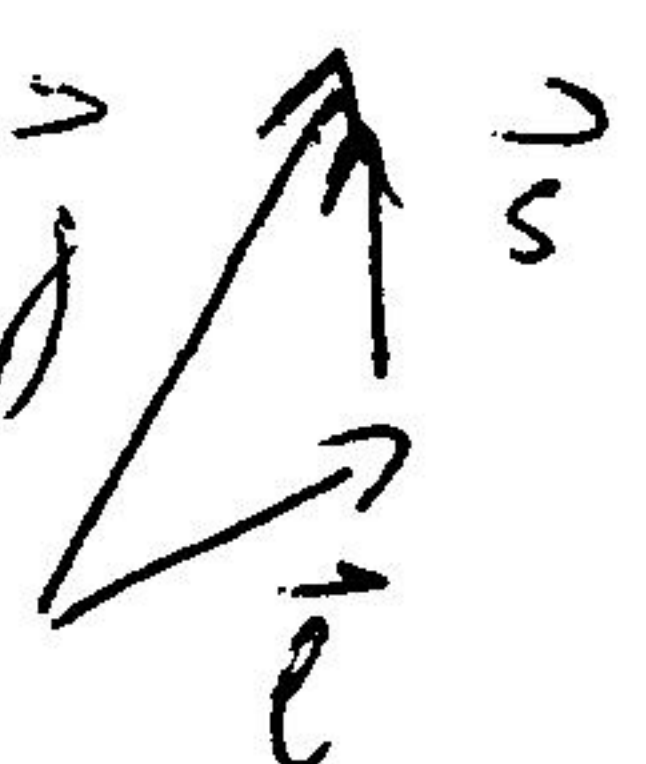
Ein Elektron:  $\vec{j} = \vec{l} + \vec{s}$  wegen Richtungsquantisierung von ~~alle~~  $l$  und  $s$  ebenfalls quantisiert  $|\vec{j}| = \hbar \sqrt{j(j+1)}$   
 $j^2 = m_j \hbar$

dann nur 2 Orientierungen des Spins  $\sigma$  für jedes von 2 möglichen  $m_j$ :  $m_j = m_l + \frac{1}{2}$   
 $m_j = m_l - \frac{1}{2}$

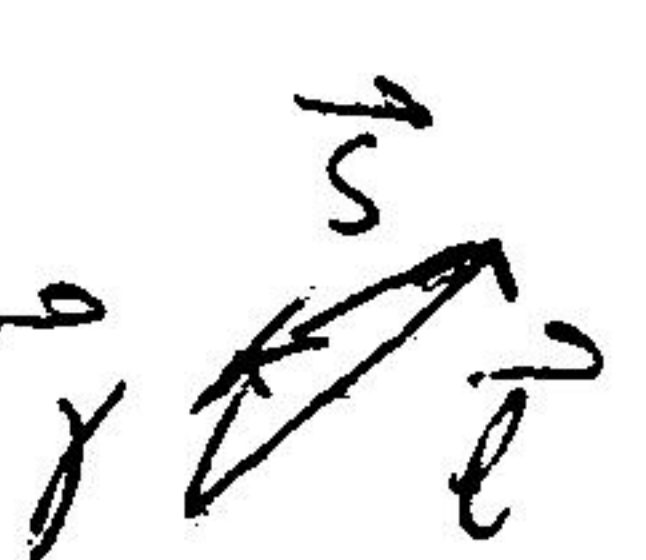
$$j = l + s \text{ oder } j = |l - s|$$

Dreiecksungleichung  $|\vec{j}| \leq |\vec{l}| + |\vec{s}|$   
 $|\vec{j}| \geq |\vec{l}| - |\vec{s}|$   
 mit  $|\vec{j}| = \sqrt{j(j+1)} \hbar$  ist dann  $j = l \pm s$  möglich

$$\text{z.B. } l=1 \quad s=\frac{1}{2} \quad 1. \quad j = l+s = \frac{3}{2} \quad m_j = -\frac{3}{2}, -\frac{1}{2}, \frac{1}{2}, \frac{3}{2}$$



$$|\vec{j}| = \hbar \sqrt{\frac{3}{2} \cdot \frac{5}{2}} = \hbar \sqrt{\frac{15}{4}}$$



$$2. \quad j = l-s = \frac{1}{2} \quad m_j = -\frac{1}{2}, \frac{1}{2}$$

$$|\vec{j}| = \hbar \sqrt{\frac{1}{2} \cdot \frac{3}{2}} = \hbar \sqrt{\frac{3}{4}}$$

für mehrere Elektronensysteme gibt es grundsätzlich zwei Kopplungsschemata.

a) Balander bei pulse der einzelnen Elektronen können zu einem Gesamtbahnspinpulse koppln, ditto für Spins.

$$\vec{L} = \sum_i \vec{l}_i \quad | \vec{L} | = \hbar \sqrt{L(L+1)}$$

$L = L_{\max}, L_{\max}-1, \dots, L_{\min}$

$$L_2 = \mathcal{N}_L \hbar$$

$$\mathcal{N}_L = L, L-1, L-2, \dots, -L$$

$L, \mathcal{N}_L$ : ganzzahlig oder 0

z.B. 2 Elektronen

$L_{\max} = l_1 + l_2 \quad L_{\min} = |l_1 - l_2|$ ; alle  $l_i$  markieren die Richtung von  $\vec{l}_i$ , daher  $\mathcal{N}_L = \sum m_i$ .  
Ebenso für Spins:  $\vec{S} = \sum \vec{s}_i$

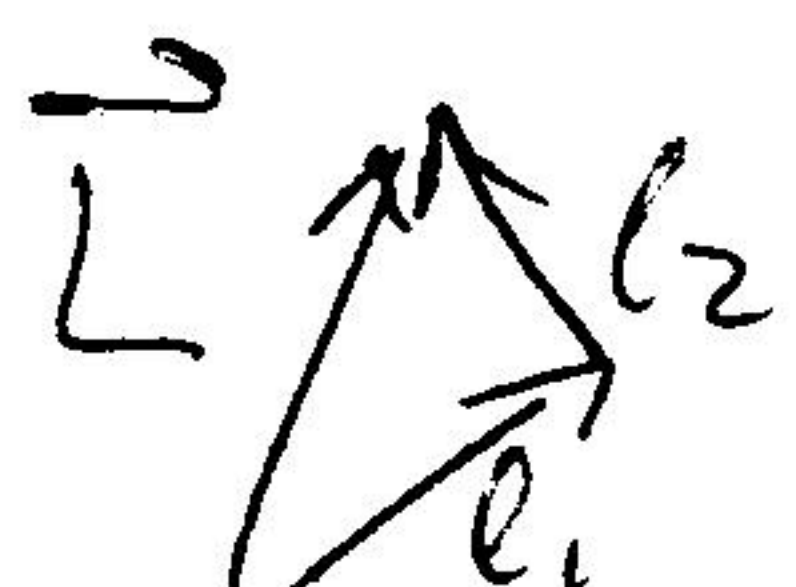
$$| \vec{S} | = \hbar \sqrt{S(S+1)} \quad S = S_{\max}, S_{\max}-1, \dots, S_{\min}$$

$$S_2 = \mathcal{N}_S \hbar \quad | \vec{S} | = \sum m_S$$

2 Elektronen  $S_{\max} = 1 \quad S_{\min} = 0$

Kohlenstoff:  $^{12}_6C \quad 1s^2 2s^2 2p^2$

1s und 2s abgeschlossen, bilden zu L und S Null bei.  $2p^2$ : 3 Möglichkeiten



$$L = 2 \quad | \vec{L} | = \sqrt{2 \cdot 3} \hbar \quad \mathcal{N}_L = 2, 1, 0, -1, -2$$



$$L = 1 \quad | \vec{L} | = \sqrt{1 \cdot 2} \hbar \quad \mathcal{N}_L = 1, 0, -1$$



$$L = 0 \quad | \vec{L} | = 0 \hbar \quad \mathcal{N}_L = 0$$

Spins:

$$\vec{s} \uparrow \vec{s}_2 \quad S = 1 \quad | \vec{S} | = \sqrt{\frac{1}{2} \cdot \frac{3}{2}} \hbar \quad \mathcal{N}_S = 1, 0, -1$$

$$\vec{s}_1 \uparrow \vec{s}_2 \quad S = 0 \quad | \vec{S} | = 0 \hbar \quad \mathcal{N}_S = 0$$

Diese Koppelung heißt LS-Kopplung oder Russell-Saunders Kopplung und überwölft für den größten Teil des Periodensystems.

Welche Kombinationen von  $l_i$  und  $s_i$  sind bevorzugt (englisch *fav*)?

Coulombabstossung  $\rightarrow$  Elektronen möglichst weit voneinander entfernt, daher erst alle  $(2l+1)$  mögl. Zustände zuerst einfach bischen dann doppelt

1. Hundschle Regel: Von verschiedenen relativ Orientierungen des Spins ist der Zustand mit maximalen Gesamtspin bevorzugt  $\rightarrow$  Spins möglichst parallel orientieren

2. Hundschle Regel: wenn verschiedene Konfigurationen auf denselben Spin möglich sind ist die mit maximalen Gesamtbahnspin  $|L|$  bevorzugt

Z.B. 2p-Schale

B  $z=5$   $1s^2 2s^2 2p^1$

C  $6$   $2p^2$

N  $7$   $2p^3$

O  $8$   $2p^4$

F  $9$   $2p^5$

He  $10$   $2p^6$

	1	0	-1	$m_l$	5	L	$\gamma$
	$\uparrow$				$1/2$	1	$1/2, 3/2$
	$\uparrow$	$\uparrow$			1	1	$2, 1, 0$
	$\uparrow$	$\uparrow$	$\uparrow$		$3/2$	0	$3/2$
	$\uparrow$	$\uparrow$	$\uparrow$		1	1	$2, 1, 0$
	$\uparrow$	$\uparrow$	$\uparrow$		$1/2$	1	$1/2, 3/2$
	$\uparrow$	$\uparrow$	$\uparrow$		0	0	0

$\bar{L}$  und  $\bar{S}$  sind totale Bahndrehimpuls und Spin

mit "guten" Quantenzahlen  $L$  und  $S$  und Koppeln Velto will nur Gesamtduchheitsimpuls  $\vec{J}$ . Für  $L > S$  kann  $J = 2S+1$  Werte annehmen, für  $L < S$  müssen  $J = 2L+1$  Werte annehmen.

Diese Russell-Saunders Kopplung gilt für fast alle Atome außer sehr schweren und außer im Fall sehr starker externer Felder.

### b) jj-Kopplung

Bei jedem Elektron koppeln  $\vec{l}_i$  und  $\vec{s}_i$  zu Gesamtduchheitsimpuls  $\vec{j}_i$  mit  $j = l+s, l-s$  die  $\vec{j}_i$  koppeln dann zu einem totalen Drehimpuls  $\vec{J} = \sum_i \vec{j}_i$

diese jj-Kopplung tritt bei schweren Atomen (Aktiniden) oder in starken externen Feldern auf (wenn WW mit externem Feld größer als WW-Coulomb - zwischen den Elektronen)

### 2 Schenata

